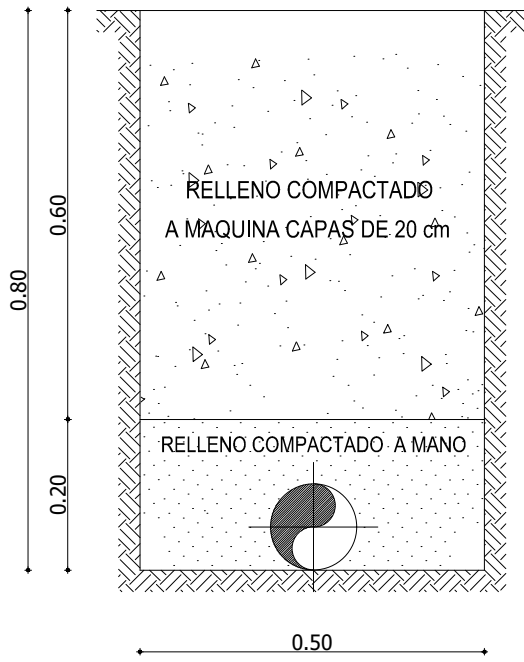


Datos hidráulicos	Q=5.753 L/s; V=0.71 m/s; J=0.00561 PVC U/Z 110 mm; 1.00 MPa; LH=1072.76; LD(+5%)=1126.40																																Q=5.753 L/s; V=0.71 m/s; J=0.00561 PVC U/Z 110 mm; 1.00 MPa; LH=1072.76; LD(+5%)=1126.40																																																																																																																																																																																																																																																																																																																																																																																																																																																																																																																																																																																																																																																																																																																																																																																																																																																																																																																																																																																																																																																																																																																																																																																																																																																																																																																																																																																																																																																																																																																																																																																																																																																																																																																																																																																																																																																																																																																																																																																																																																																																																																																																																																																																																																																																																																																																																																																																																																																																																																																																																																																																																																																																																																																																																																																																																																																																																																																																																																																																																																																																																																																																																																																																																																																																																																																																																																																																																																																																																																																																																																																																																																																																																																																																																																																																																																																																																																																																																																																																																																																																																																																																																																																																																																																																																																																																																																																																																																																																																																																																																																																																																																																																																																																																																																																																																																																																																																																																																																																																																																																																																																																																																																																																																																																																																																																																																																																																																																																																																																																																																																																																																																																																																																																																																																																																																																																																																																																																																																																																																																																																																																																																																																																																																																																																																																																																																																																																																																																																																																																																																																																																																																																																																																																																																																																																																																																																																																																																																																																																																																																																																																																																																																																																																																																																																																																																																																																																																																																																																																																																																																																																																																																																																																																																																																																																																																																																																																																																																																																																																																																																																																																																																																																																																																																																																																																																																																																																																																																																																																																																																																																																																																																																																																																																																																																																																																																																																																																																																																																																																																																																																																																																																																																																																																																																																																																																																																																																																																																																																																																																																																																																																																																																																																																																																																																																																																																																																																																																																																																																																																																																																																																																																																																																																																																																																																																																																																																																																																																																																																																																																																																																																																																																																																																																																																																																																																																																																																																																																																																																																																																																																																																																																																																																																																																																																																																																																																																																																																																																																																																																																																																																																																																																																																																																																																																																																																																																																																																																																																																																																																																																																																																																																																																																																																																																																																																																																																																																																																																																																																																																																																																																																																																																																																																																																																																																																																																																																																																																																																																																																																																																																																																																																																																																																																																																																																																																																																																																																																																																																																																																																																																																																																																																																																																																																															
Abscisas	1+300																																1+320																																1+340																																1+360																																1+380																																1+400																																1+420																																1+440																																1+460																																1+480																																1+500																																1+520																																1+540																																1+560																																1+580																																1+600																																1+620																																1+640																																1+660																																1+680																																1+700																																1+720																																1+740																																1+760																																1+780																																1+800																																1+820																																1+840																																1+860																																1+880																																1+900																																1+920																																1+940																																1+960																																1+980																																2+000																																																																																																																																																																																																																																																																																																																																																																																																																																																																																																																																																																																																																																																																																																																																																																																																																																																																																																																																																																																																																																																																																																																																																																																																																																																																																																																																																																																																																																																																																																																																																																																																																																																																																																																																																																																																																																																																																																																																																																																																																																																																																																																																																																																																																																																																																																																																																																																																																																																																																																																																																																																																																																																																																																																																																																																																																																																																																																																																																																																																																																																																																																																																																																																																																																																																																																																																																																																																																																																																																																																																																																																																																																																																																																																																																																																																																																																																																																																																																																																																																																																																																																																																																																																																																																																																																																																																																																																																																																																																																																																																																																																																																																																																																																																																																																																																																																																																																																																																																																																																																																																																																																																																																																																																																																																																																																																																																																																																																																																																																																																																																																																																																																																																																																																																																																																																																																																																																																																																																																																																																																																																																																																																																																																																																																																																																																																																																																																																																																																																																																																																																																																																																																																																																																																																																																																																																																																																																																																																																																																																																																																																																																																																																																																																																																																																																																																																																																																																																																																																																																																																																																																																																																																																																																																																																																																																																																																																																																																																																																																																																																																																																																																																																																																																																																																																																																																																																																																																																																																																																																																																																																																																																																																																																																																																																																																																																																																																																																																																																																																																																																																																																																																																																																																																																																																																																																																																																																																																																																																																																																																																																																																																																																																																																																																																																																																																																																																																																																																																																																																																																																																																																																																																																																																																																																																																																																																																																																																																																																																																																																																																																																																																																																																																																																																																																																																																																																																																																																																																																																																																																																																																																																																																																																																																																																																																																																																																																																																																																																																																																																																																																																																																																																																																																																																																																																																																																																																																																																																																																																																																																																																																																																																																																																																																																																																																																																																																																																																																																																																																																																																																																																																																																															
Cota de Terreno	2047.07																																2046.74																																2044.93																																2043.74																																2044.06																																2043.59																																2043.77																																2043.79																																2044.26																																2045.18																																2041.87																																2042.07																																2042.19																																2042.36																																2044.17																																2044.00																																2044.51																																2045.21																																2044.85																																2045.46																																2050.52																																2052.28																																2056.65																																2061.50																																2064.53																																2066.71																																2068.51																																2072.53																																2075.59																																2080.53																																2084.12																																																																																																																																																																																																																																																																																																																																																																																																																																																																																																																																																																																																																																																																																																																																																																																																																																																																																																																																																																																																																																																																																																																																																																																																																																																																																																																																																																																																																																																																																																																																																																																																																																																																																																																																																																																																																																																																																																																																																																																																																																																																																																																																																																																																																																																																																																																																																																																																																																																																																																																																																																																																																																																																																																																																																																																																																																																																																																																																																																																																																																																																																																																																																																																																																																																																																																																																																																																																																																																																																																																																																																																																																																																																																																																																																																																																																																																																																																																																																																																																																																																																																																																																																																																																																																																																																																																																																																																																																																																																																																																																																																																																																																																																																																																																																																																																																																																																																																																																																																																																																																																																																																																																																																																																																																																																																																																																																																																																																																																																																																																																																																																																																																																																																																																																																																																																																																																																																																																																																																																																																																																																																																																																																																																																																																																																																																																																																																																																																																																																																																																																																																																																																																																																																																																																																																																																																																																																																																																																																																																																																																																																																																																																																																																																																																																																																																																																																																																																																																																																																																																																																																																																																																																																																																																																																																																																																																																																																																																																																																																																																																																																																																																																																																																																																																																																																																																																																																																																																																																																																																																																																																																																																																																																																																																																																																																																																																																																																																																																																																																																																																																																																																																																																																																																																																																																																																																																																																																																																																																																																																																																																																																																																																																																																																																																																																																																																																																																																																																																																																																																																																																																																																																																																																																																																																																																																																																																																																																																																																																																																																																																																																																																																																																																																																																																																																																																																																																																																																																																																																																																																																																																																																																																																																																																																																																																																																																																																																																																																																																																																																																																																																																																																																																																																																																																																																																																																																																																																																																																																																																																																																																																																																																																																																																																																																																																																																																																																																																																																																																																																																																																																																																																																																																																																																																																																																																															
Cortes	0.81																																0.81																																0.82																																0.81																																0.81																																0.81																																0.79																																0.81																																0.81																																0.81																																0.79																																0.81																																0.81																																0.81																																0.81																																0.81																																0.81																																0.81																																0.81																																0.81																																0.81																																0.81																																0.81																																0.81																																0.81																																0.81																																0.81																																0.81																																0.81																																0.81																																0.81																																0.81																																0.81																																0.81																																0.81																																0.81																																0.81																																0.81																																0.81																																0.81																																0.81																																0.81																																0.81																																0.81																																0.81																																0.81																																0.81																																0.81																																0.81																																0.81																																0.81																																0.81																																0.81																																0.81																																0.81																																0.81																																0.81																																0.81																																0.81																																0.81																																0.81																																0.81																																0.81																																0.81																																0.81																																0.81																																0.81																																0.81																																0.81																																0.81																																0.81																																0.81																																0.81																																0.81																																0.81																																0.81																																0.81																																0.81																																0.81																																0.81																																0.81																																0.81																																0.81																																0.81																																0.81																																0.81																																0.81																																0.81																																0.81																																0.81																																0.81																																0.81																																0.81																																0.81																																0.81																																0.81																																0.81																																0.81																																0.81																																0.81																																0.81																																0.81																																0.81																																0.81																																0.81																																0.81																																0.81																																0.81																																0.81																																0.81																																0.81																																0.81																																0.81																																0.81																																0.81																																0.81																																0.81																																0.81																																0.81																																0.81																																0.81																																0.81																																0.81																																0.81																																0.81																																0.81																																0.81																																0.81																																0.81																																0.81																																0.81																																0.81																																0.81																																0.81																																0.81																																0.81																																0.81																																0.81																																0.81																																0.81																																0.81																																0.81																																0.81																																0.81																																0.81																																0.81																																0.81																																0.81																																0.81																																0.81																																0.81																																0.81																																0.81																																0.81																																0.81																																0.81																																0.81																																0.81																																0.81																																0.81																																0.81																																0.81																																0.81																																0.81																																0.81																																0.81																																0.81																																0.81																																0.81																																0.81																																0.81																																0.81																																0.81																																0.81																																0.81																																0.81																																0.81																																0.81																																0.81																																0.81																																0.81																																0.81																																0.81																																0.81																																0.81																																0.81																																0.81																																0.81																																0.81																																0.81																																0.81																																0.81																																0.81																																0.81																																0.81																																0.81																																0.81																																0.81																																0.81																																0.81																																0.81																																0.81																																0.81																																0.81																																0.81																																0.81																																0.81																																0.81																																0.81																																0.81																																0.81																																0.81																																0.81																																0.81																																0.81																																0.81																																0.81																																0.81																																0.81																																0.81																																0.81																																0.81																																0.81																																0.81																																0.81																																0.81																																0.81																																0.81																																0.81																																0.81																																0.81																																0.81																																0.81																																0.81																																0.81																																0.81																																0.81																																0.81																																0.81																																0.81																																0.81																																0.81																																0.81																																0.81																																0.81																																0.81																																0.81																																0.81																																0.81																																0.81																																0.81																																0.81																																0.81																																0.81																																0.81																																0.81																																0.81																																0.81																																0.81																																0.81																																0.81																																0.81																																0.81																																0.81																																0.81																																0.81																																0.81																																0.81																																0.81																																0.81																																0.81																																0.81																																0.81																																0.81																																0.81																																0.81																																0.81																																0.81																																0.81																																0.81																																0.81																																0.81																																0.81																																0.81																																0.81																																0.81																																0.81																																0.81																																0.81																																0.81																																0.81																																0.81																																0.81																																0.81																																0.81																																0.81																																0.81																																0.81																																0.81																																0.81																																0.81																																0.81																																0.81																																0.81																																0.81																																0.81																																0.81																																0.81																																0.81																																0.81																																0.81																																0.81																																0.81																																0.81																																0.81																																0.81																																0.81																																0.81																																0.81																																0.81																																0.81																																0.81																																0.81																																0.81																																0.81																																0.81																																0.81																																0.81																																0.81																																0.81																																0.81																																0.81																																0.81																																0.81																																0.81																																0.81																																0.81																																0.81																																0.81																																0.81																																0.81																																0.81																																0.81																																0.81																																0.81																																0.81																																0.81																																0.81																																0.81																																0.81																																0.81																																0.81																																0.81																																0.81																																0.81																																0.81																																0.81																																0.81																																0.81																																0.81																																0.81																																0.81																																0.81																																0.81																																0.81																																0.81																																0.81																																0.81																																0.81																																0.81																																0.81																																0.81																																0.81																																0.81																																0.81																																0.81																																0.81																																0.81																																0.81																																0.81																																0.81																																0.81																																0.81																																0.81																																0.81																																0.81																																0.81																																0.81																																0.81																																0.81																																0.81																																0.81																																0.81																																0.81																																0.81																																0.81																																0.81																																0.81																																0.81																																0.81																																0.81																																0.81																																0.81																																0.81																																0.81																																0.81																																0.81																																0.81																																0.81																																0.81																																0.81																																0.81																																0.81																																0																															

SECCION MINIMA  
EXCAVACION Y RELLENO  
ESCALA: GRAFICA



SIMBOLOGIA	
	TUBERIA PVC PRESION
	VALVULA DE AIRE (VA)
	VALVULA DE DESAGUE (VD)

**EMPRESA PÚBLICA MUNICIPAL DE AGUA POTABLE,  
ALCANTARILLADO Y SANEAMIENTO DE CALVAS EP**

PROYECTO:  
ESTUDIO DEL SISTEMA DE AGUA POTABLE URBANO MARGINAL CHILE,  
PARROQUIA CHILE, CANTÓN CALVAS, PROVINCIA DE LOJA

CONTENIDO:  
- PERFIL HIDRÁULICO CONDUCCIÓN TOTORAS

CONSULTORIA	ADMINISTRACIÓN	FISCALIZACIÓN
ING. ANGEL M. MONTOYA PONCE CONSULTOR	ING. ANTONIO JUMBO ESTRADA ADMINISTRADOR	ING. IVÁN VALLEJO FISCALIZADOR

LAMINA Nº  
15  
DE  
44

FECHA: ABRIL 2021

ESCALAS: INDICADAS